

## 154kV 방재형 난연 변압기 냉각특성에 관한 연구

박정호, 오원근\*, 하영식  
(주)효성 중공업연구소

**A Study on the Cooling Characteristic of a 154kV Less-Flammable Power Transformer**

J. H. Park, W. K. Oh\*, Y. S. Ha  
Hyosung Corporation Ltd.

**Abstract**

Demand for development of 154kV Less-Flammable Power transformer is now increasing greatly instead of a oil-immersed transformer for preventing disasters and Less-flammability of substations.

The most important point in developing Less-flammable transformer is cooling system.

This paper describes the study on cooling characteristic of Less-flammable transformer.

**1. 서 론**

방재형 난연변압기에 절연 및 냉각매질로 사용되는 난연성 절연유(R-Temp)는 발화점은 광유에 비해 약 2배 가량 높은 잎점은 있으나, 점도가 일반 광유보다 약 10배(40°C 기준) 가량 높으므로, 변압기의 안정된 냉각특성을 유지하기 위해서는 권선의 층적 냉각 구조설계, 적정 냉각시스템이 중요시된다.

따라서 본 논문에서는 당사에서 개발 완료한 방재형 난연 변압기(1Ø 154/23kV 20MVA FOW)의 냉각특성에 대한 연구내용을 서술하고자 한다.

**2. 본 론****2.1 변압기의 일반적인 냉각특성 검토**

변압기의 부하손실(Load Loss), 무부하손실(Noload Loss)로 발생하는 열은 권선과 철심에서 냉매로 전달되며, 특히 대용량변압기의 경우는 철심부분에서는 직접 냉매에 전달되지만, 권선부분에서는 도체절연지를 통과하여 냉매에 전달된다.

이와같이 권선부분에서 발생된 열을 절연물 손상없이 변압기가 장기간 안정적인 운전이 될 수 있도록 규정온도이하로 제한하기 위해서는, 변압기 권선내부의 냉각구조와 더불어 냉각기 및 절연유순환을 위

한 오일펌프등 층적의 냉각시스템을 구성하여야 한다.

**2.1.1 난연변압기 냉각시스템 및 냉각구조**

당사가 개발한 난연변압기는 옥내지하변전소의 방재형변전기기로 사용되며, 대용량인 이유로 강제냉각 방식(송유수냉식(FOW), 송유풍냉식(FOA))을 적용한다. 특히, 전체외형축소 및 고효율의 냉각 성능을 확보하기 위하여 송유수냉식(FOW) 냉각시스템을 구성하였고, 개략적인 구조는 그림 1과 같다. 권선 및 철심에서 발생한 열에 의해 온도가 상승한 절연유를 유펌프를 이용하여 강제순환시켜서 수냉식 냉각기를 통과하면서 열을 방출하게 하도록 구성한다. 이때 수냉식 냉각기에는 냉각수가 공급 되어진다. 또한 냉각장치는 변압기 용량 및 소비전력을 감안하여, 고효율 냉각장치로 선정하며. 변압기 상당 2세트(1세트:운전용, 1세트:예비용)으로 구성되며, 절연유 순환펌프에는 유류를 검출하는 계전기가 있으며, 냉각수 및 절연유 정지밸브를 설치한다. 수냉식냉각기 내의 절연유와 냉각수는 혼합될 경우 절연유의 수분함침으로 인한 변압기 절연사고가 발생하므로 혼합되지 않도록 제작되며, 이에대한 방지책으로 수냉식냉각기내에서의 누수또는 누유시 이를 감지할 수 있는 누설감지기를 부착한다.

(방재형난연변압기 사양)

항 목	사 양
상수 및 주파수	1Ø 60Hz
정격전압	154/ $\sqrt{3}$ : 23/ $\sqrt{3}$ : 6.6kV
냉각방식	송유수냉식(FOW)
절연 및 냉각매질	난연액체(R-Temp)
탭전압(1차)	(154±12.5%)/ $\sqrt{3}$ kV
정격용량	(1차·2차)
백분율	20 MVA
임피던스(1차·2차)	(20±2.0)%

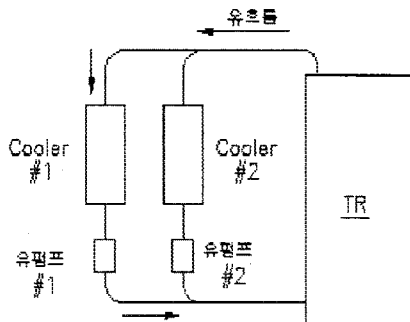


그림 1 송유수냉식 냉각구조 개념도

방재형 변압기의 주요 발열부위인 권선내부에는 그림2와 같이 zig-zag 오일왓샤를 삽입하여, 권선내부의 국부과열(hotspot)을 방지하고, 권선냉각을 극대화 시킬수 있는 구조로 설계, 제작되었다

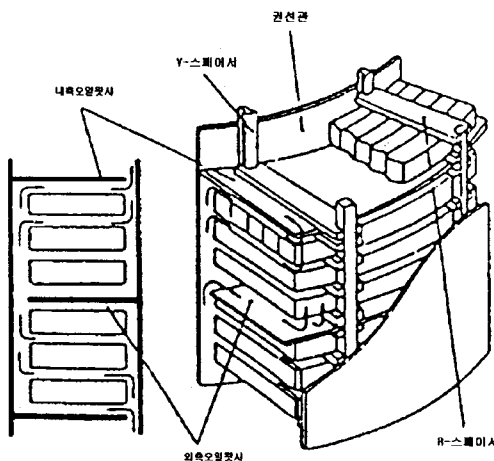


그림 2. zig-zag 오일왓샤 권선 냉각구조

### 2.1.2 난연변압기 냉각특성 연구

난연변압기의 냉각성능과 온도상승은 냉각매질인 R-Temp의 열적특성, 절연유 순환량에 따른 권선내 절연유속 그리고 냉각기특성에 따라 좌우된다.

난연성 절연유(R-Temp)의 물리적특성치는 표1과 같으며, 기존 일반 유입식변압기에 사용되는 광유와 유사한 특성을 가지고 있으나, 동점도가 매우 높으므로, 냉각설계시 이런 특성을 우선적으로 고려하여야 한다.

표 1 난연성절연유(R-Temp) vs 광유 물리적특성치  
(@ 75°C)

종류 특성	광유	R-Temp
발화점(°C)	144	312
밀도 $\rho$ (kg/m <sup>3</sup> )	849	844
비열 C(W · sec/m°C)	2080	2036
열전도도 $\lambda$ (W/m · °C)	0.1272	0.1223
열팽창계수 $\beta$ (1/°C)	7.95	7.50
동점도 $\nu$ (m <sup>2</sup> /sec)	4.7	16.6

상기 표1과 같이 광유대비 난연성절연유(R-Temp)의 동점도는 75°C에서 3.5배이며, 온도가 낮아질수록 매우 커진다.

방재형 변압기의 전체 Winding-to-Oil Difference  $\theta$ 는 도체 절연에 의한 온도강하( $\theta_i$ )와 도체표면과 Oil에서의 온도강하( $\theta_s$ )의 합으로 계산된다.

#### ■ Insulation Drop( $\theta_i$ )

(절연지의 열전도에 의한 온도강하)

$$\theta_i = \frac{W_s}{k} \times t_i$$

여기서  $W_s$  : 권선의 열전달 밀도 [Watt/in<sup>2</sup>]

$A_s$  : Phase당 표면적 [in<sup>2</sup>]

$k$  : 절연지의 열전도도 [W/in°C]

$t_i$  : 테이핑 중수를 고려한 절연지 두께 [in]

• 절연지의 열전도에 의한 온도강하( $\theta_i$ ) 계산

- 고압권선(HV) : 3.1°C

- 중압권선(XV) : 1.4°C

#### ■ Surface Drop( $\theta_s$ )

(도체 절연지 표면과 흐르는 Oil에 의한 온도강하)

이 Surface Drop( $\theta_s$ )는 유속의 함수이다. 유속은 Pumping되는 전체 유량, 유로단면적 그리고 모든 권선을 통과하여 흐르는 압력강하의 균형에 의존한다.

• 절연지의 열전도에 의한 온도강하( $\theta_s$ ) 계산

- 권선유로단면적 (Flow Path area)

$$A = [M.T. - W_R \times N_R] \times D \times N_p \quad [\text{in}^2]$$

- D : Duct 두께 [in]  
 $N_D$  : No. of Parallel Duct  
 (Zig-Zag 당 병렬 Duct의 평균갯수)  
 $W_R$  : R-Spacer 폭 [in]  
 $N_R$  : R-Spacer 등 배수 [개]

고압권선(HV) : 219.56 in<sup>2</sup>

중압권선(XV) : 153.22 in<sup>2</sup>

- Velocity Ratio :  $K_L$

$$V_{XV} = K_L V_{HV}$$

$$K_L = 1.095$$

- 각 권선의 유속계산

$$V_{HV} = \frac{Q}{A_{HV} + K_L A_{XV}} \text{ [in/sec]}$$

$$V_{XV} = K_X \times V_H \text{ [in/sec]}$$

고압권선( $V_{HV}$ ) : 3.85 in/sec

중압권선( $V_{XV}$ ) : 4.22 in/sec

Surface Drop( $\theta_s$ )

$$\theta_s = W_s \cdot \theta_{s1} = \frac{a W_s}{V^b} \text{ (a, b: 상수)}$$

고압권선(HV) : 17.0 °C

중압권선(XV) : 14.9 °C

#### ■ Winding-to-Oil Difference $\theta$ (Gradient ; $\alpha$ )

$$= (\theta_i) + (\theta_s)$$

고압권선(HV) : 20.1 °C

중압권선(XV) : 16.3 °C

#### ■ 최고유온도상승 : 41 °C

$$\underline{\text{Core & Coil Heat Run Loss}}$$

$$\text{Cooler 용량} \times \text{대수}$$

$\times$  (냉각기 입출구 유온의 차)

#### ■ 평균유온도상승 : 36.8 °C

$$\underline{\text{Core & Coil Heat Run Loss}}$$

$$\text{Cooler 용량} \times \text{대수}$$

$\times$  (냉각기 최고 유온상승치 -  $\frac{\text{냉각기 입출구 유온의 차}}{2}$ )

#### ■ 평균권선온도상승

: 평균유온상승 + Gradient  $\alpha$  值 [°C]

고압권선(HV) : 56.9 °C

중압권선(XV) : 53.1 °C

### 2.1.3 온도상승시험

난연변압기에 전전류의 부하가 걸렸을 때 유온도상승치 및 권선온도상승치를 측정하기 위한 성능검증 시험은 변압기 2차권선은 단락하고 1차권선에 전원을 인가하는 단락법에 의해 실시하였으며, 그 결과는 표2와 같다.

표 2 온도상승시험 결과

	온도상승한도	시험결과
절연유 (R-TEMP)	55 °C	42.5 °C
권선	고압권선	58.2 °C
	중압권선	54.0 °C

• 온도상승한도와 시험결과 차이 : 실제 변압기의 과부하운전등을 고려하여, 난연변압기 설계시 10°C 낮게 설계하였다.

• 고압·중압권선의 온도차이: 4.2°C 차이발생 요인은 변압기 기본특성치(%임피던스등)를 만족하는 최적설계를 및 제작에 따른 고·중압 코일의 단위면적당 근소한 손실차이로 인한 차이이며, 운전시 온도상승한도 이하므로 문제가 없다.

### 2.1.4 난연성 절연유 온도에 따른 냉각특성연구

냉각시스템을 구성하는 절연유 순환펌프 및 수냉식 냉각기는 R-temp 난연성 절연유의 온도에 따른 동점도의 영향으로 표3과 같이 유량 및 냉각용량이 변화한다.

상기 온도상승계산 및 온도상승성능검증시험은 난연변압기에 전부하 전류일 때를 고려한 계산 및 시험한 결과이며, 실제 부하가 80%로 사용될 경우 부하손실의 대부분을 차지하는 권선 저항손실이 64%로 감소한다. 또한 R-Temp 유온 변화로 인해 권선 내 절연유량 및 유속이 감소하며, 수냉식 냉각기 냉각용량도 140kW로 낮아짐을 알 수 있다. 결론적으로 저부하로 인한 손실감소로 인해 유온도상승이 낮아짐으로써 절연유 순환펌프의 유량도 감소하지만 실제적인 변압기는 손실의 감소로 인해서 전부하시보다 낮은 온도에서 운전된다.

표 3 R-Temp 유온에 따른 절연유순환펌프 특성

동점도	554.4cSt	256.4cSt	14.1cSt
유온	10 °C	20 °C	80 °C
유량	90m <sup>3</sup> /h	100m <sup>3</sup> /h	120m <sup>3</sup> /h
냉각용량	120kW	130kW	150kW

### 3. 결 론

154kV방재형 난연 변압기는 절연 및 냉각매질로 사용되는 R-Temp는 광유에 비해 발화점은 높은 반면, 그의 동점도가 매우 높기 때문에 온도상승 등 냉각특성 연구가 핵심 기술이다.

당사에서는 1상 154kV 20MVA 방재형난연변압기 퍼시픽 설계, 제작 및 개발시험을 성공적으로 완료함으로써 난연변압기 냉각특성 기술을 확립하였다.

본 개발성과를 바탕으로 “한국전력의 방재형 난연 변압기”의 신규시장에 적극 대치할 수 있게 되었으며, 수입대체효과와 아울러 초고압변압기의 난연화 기술을 확립, 기술력향상 및 국제경쟁력을 갖추는데 교두보를 확보했다.

향후에는 수주품 납품 및 장시간 Site운전 자료를 수집, 검토하여 기술을 정립시키고, 유체해석 프로그램을 이용한 냉각특성 해석을 통해서 냉각특성연구 기술을 한단계 향상시킬 계획이다. 또한 154kV급 대용량변압기의 다양한 사양의 상용품을 연구하여, 해외물량 수주 및 수출을 적극 추진할 것이다.

#### 【참 고 문 헌】

- [1] "IEEE Guide for Acceptance and Maintenance of Less Flammable Hydrocarbon Fluid in Transformers", IEEE Std C57.121-1998
- [2] "Temperature Rise" IEEE std C57.12.90-1993 SUB. CLAUSE 11
- [3] "Transformer for Electric Power Industry", Richard L. Bean, Westinghouse Electric Corporation, 1959
- [4] "Eddy Current in Linear Conducting Media", J.A. TEGOPOULOS, ELSEVIER, 1985